

本工作所得结果与其他测量者的结果在误差范围内符合，但与卡扎丽娜娃(М. И. Казаринава)的结果不符。她的结果明显偏高，原因不详。

### 参 考 文 献

- [1] H. Ramthun & W. Muller, *Int. J. Appl. Radiat. Isot.*, **26**, 589 (1975).
- [2] A. F. Kovarik, *J. Appl. Phys.*, **12**, 296 (1941).
- [3] R. Gold et al., *Nucl. Sci. Eng.*, **34**, 13 (1968).
- [4] 叶春堂,  $^{238}\text{U}$  裂变截面的编译, 内部资料, 1977.
- [5] A. H. Протопопов и др., *Атомная Энергия*, **6**, 67 (1959).
- [6] М. И. Казаринава и др., *Атомная Энергия*, **8**, 139 (1960).
- [7] Э. Ф. Фомчшин, *Ядерная Физика*, **5**, 966 (1967).
- [8] R. H. Lyon et al., BARC-474 (1969).

## 14兆电子伏中子引起的 $^7\text{Li}$ 核生氚截面的测量

祁步嘉 周友朴 申本新 虞志康 姚锦章

由中子引起的 $^7\text{Li}$ 核的生氚反应截面是 $^7\text{Li}$ 核与中子相互作用截面中一个重要的分截面。许多实验室对 $^7\text{Li}$ 核的中子生氚截面进行过测量。最近我们用液体闪烁快符合法测量了由14兆电子伏中子引起的 $^7\text{Li}$ 核的生氚反应截面。

### 一、测 量 原 理

我们的测量以 $^{27}\text{Al}(\text{n}, \alpha)^{24}\text{Na}$ 的反应截面为标准<sup>[1]</sup>。把待测的锂样品夹在两个 $^{27}\text{Al}$ 样品中间，在14兆电子伏中子束中进行辐照。然后，用已知效率的 $\text{NaI}(\text{Tl})\gamma$ 探测器测量 $^{27}\text{Al}(\text{n}, \alpha)^{24}\text{Na}$ 反应产生的 $^{24}\text{Na}$ 特征 $\gamma$ 射线全能峰的绝对强度，用液体闪烁快符合法测量 $^7\text{Li}(\text{n}, \text{n}'\alpha)\text{T}$ 反应产生的氚的绝对强度。由下面公式求出 $^7\text{Li}$ 生氚反应截面 $\sigma_{n,t}$ 和 $^{27}\text{Al}(\text{n}, \alpha)^{24}\text{Na}$ 反应截面 $\sigma_{n,\alpha}$ 的比值：

$$\frac{\sigma_{n,t}}{\sigma_{n,\alpha}} = \frac{N_T \cdot M_{\text{Al}} \cdot \varepsilon_\gamma \cdot \sum N_{\alpha_i} (1 - e^{-\lambda T_i}) \cdot e^{-\lambda t_i}}{N_\gamma \cdot M_{\text{Li}} \cdot \varepsilon_T \cdot N_\alpha}.$$

式中 $N_T$ 为单位时间中氚的计数； $M_{\text{Li}}$ 为 $^7\text{Li}$ 核的数目； $N_\gamma$ 为 $^{24}\text{Na}$ 特征 $\gamma$ 射线全能峰单位时间的计数； $M_{\text{Al}}$ 为 $^{27}\text{Al}$ 核的数目； $N_{\alpha_i}$ 为照射过程中第*i*段时间内的单位时间监视器计数； $N_\alpha$ 为监视器的总计数； $T_i$ 为第*i*段照射时间； $t_i$ 为第*i*段照射时间到测量 $\gamma$ 强度的冷却时间； $\varepsilon_T$ 为液体闪烁计数器探测氚的效率； $\varepsilon_\gamma$ 为 $\gamma$ 探测器的探测效率。

由于在照射过程中中子通量不是恒定的，因此要分段计算。由文章[1]中给出的 $^{27}\text{Al}(\text{n}, \alpha)^{24}\text{Na}$ 的反应截面值 $\sigma_{n,\alpha}$ 就可得出 $^7\text{Li}$ 核的生氚反应截面值 $\sigma_{n,t}$ 。

### 二、实 验 测 量

1. 锂样品：我们在实验中用了两种锂样品，一种是天然锂样品，另一种是丰度为

99.99%的浓缩<sup>7</sup>Li样品。我们得到的初始锂样品都是碳酸锂，对<sup>7</sup>Li<sub>2</sub>CO<sub>3</sub>样品进行了重结晶提纯。然后把碳酸锂转化成醋酸锂，用红外灯烘烤除去醋酸锂中的结晶水。为把反应剩余的醋酸充分去除，进行多次加水反复烘烤。用称重法证明，红外灯烘烤对醋酸锂中结晶水的去除是完全的。

为了定量的可靠，我们对实验中用的锂样品进行了异辛醇萃取容量分析，定量分析误差为0.7%，分析结果与称重定量结果是一致的。分析还证明对<sup>7</sup>Li<sub>2</sub>CO<sub>3</sub>样品进行重结晶提纯是必要的，未经重结晶提纯的样品比重结晶提纯样品中的含锂量要少3%。

在实验中，我们实际使用的锂样品是密封于聚苯乙烯塑料盒中的醋酸锂-甲醇溶液。聚苯乙烯盒的内径φ20毫米，高3毫米，每个样品盒中可装入醋酸锂120毫克左右。锂样品的定量误差小于1%。

2. 铝样品：我们用φ20、厚0.5毫米的金属铝样品，样品重量由万分之一天平称重确定，定量误差为0.1%。在整个实验过程中，防止样品被污染是非常重要的。我们把装样品的聚苯乙烯盒进行了仔细的保护。在装入样品前，把聚苯乙烯盒进行清洗，用离子交换水冲洗干净后烘干。聚苯乙烯盒装好样品密封后，由厚100微米左右的聚乙烯薄膜包裹好，再在薄膜外前后各紧贴一<sup>27</sup>Al样品，然后再装入一个薄壁铝盒中。若聚苯乙烯盒中装的是天然锂样品时，则把它们装入一盒中。聚苯乙烯盒壁的厚度保证<sup>7</sup>Li(n, n'α)T反应中产生的氚不能穿透。

3. 中子源：样品辐照是在高压倍加器上进行的，用T(d, n)α反应作中子源。用固体氚-钛靶，靶厚~0.5毫克/厘米<sup>2</sup>，入射氘束能量300千电子伏，样品中心与入射氘束成45°角。样品距靶10毫米。入射到样品上的中子平均能量为14.8±0.4兆电子伏。测量中子源产生的伴随α粒子作为中子通量的监视。本底样品放在距靶1米远的地方。

4. 通量的实验校正：样品的厚度3毫米。我们从实验上测量了中子通量在样品中的分布。即把聚苯乙烯样品盒装满铝(φ20、厚0.5毫米的金属铝片6片)，用聚乙烯薄膜包裹后，在其前后各紧贴一铝片并放入薄壁铝盒中。用与辐照样品时完全相同的几何在高压倍加器上进行辐照，辐照后在NaI(Tl)γ探测器上测出各铝片中<sup>24</sup>Na的特征γ射线全能峰的强度，于是可以得出：

$$\frac{N_{\gamma_{\text{前}}} + N_{\gamma_{\text{后}}}}{M_{\text{前}} + M_{\text{后}}} = A \cdot \frac{N_{\gamma_1} + N_{\gamma_2} + N_{\gamma_3} + N_{\gamma_4} + N_{\gamma_5} + N_{\gamma_6}}{M_1 + M_2 + M_3 + M_4 + M_5 + M_6}.$$

式中 $M_i$ 为各铝片的质量数； $N_{\gamma_i}$ 为各铝片中<sup>24</sup>Na的特征γ射线全能峰单位时间中的计数。从实验上求出 $A=1.03$ 。另外，还对中子与铝及醋酸锂-甲醇溶液的透射率的差别作了计算，其差别小于0.3%。

5. 氚的绝对计数：我们用液体闪烁快符合测量技术测量氚的β放射性的方法来确定氚的绝对计数。闪烁液体的探测效率用一已知强度的标准氚源进行刻度。我们用双管快符合测量法，测量线路方框图见图1。图中Ⅰ，Ⅱ表示光电倍增管。整个探头置于壁厚10厘米的铅室中，光电倍增管外面有一水冷却套，以减小测量受环境温度变化的影响。

装闪烁液体的测量盒是直径40毫米，高30毫米的圆柱体。盒体是铝质的，经过氢氧化钠处理后表面呈银白色，可改善光的反射。盒体两端用粘合剂封接窗玻璃，玻璃厚1.5毫米。我们选用的玻璃是由同一块大玻璃上切割下来的，以减小窗之间的差别。闪烁液是把5克三联苯和0.5克POPOP溶于1000毫升甲苯中制得的。

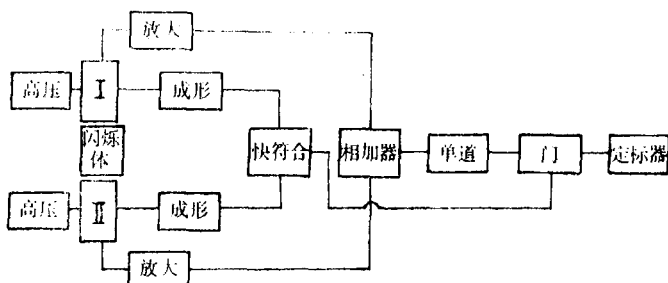


图 1 测量线路方框示意图

把辐照后的聚苯乙烯锂样品盒从薄壁铝盒中取出，整个封装于闪烁盒中，等封接玻璃的粘合剂牢固以后，先注入 3 克甲醇，然后再注满闪烁液体并把注入口密封。待聚苯乙烯盒完全溶于闪烁液体中后再轻轻摇匀，即可作为待测样品进行测量。往闪烁盒中加甲醇是防止醋酸锂在闪烁液中的析出，保证闪烁液体的清澈透明。

#### 6. 液体闪烁探测器的效率刻度：

① 标准氚源的获得：在反应堆水平孔道上，用重水反应堆产生的热中子束同时照射

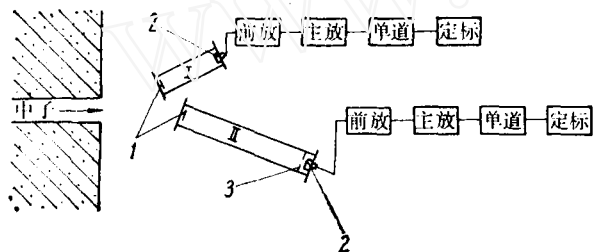


图 2 获得定量氚样品的实验装置示意图  
I——监视器； II——小立体角测量室； 1—— ${}^6\text{LiF}$ 靶；  
2——半导体探测器； 3——光栏。

装在监视器和小立体角测量室中的 ${}^6\text{LiF}$ 靶，用金硅面垒半导体探测器探测粒子。实验测量示意图见图 2。监视器和小立体角测量室都抽成真空。测出 ${}^6\text{Li}(n, \alpha)\text{T}$ 反应的谱后 ( $\alpha$  峰和 T 峰能很好地分开)。用单道选取合适的阈，测定小立体角测量室和监视器之间氚计数的比值。比值测定后，把 0.3—0.4 毫米厚，直径远大于 ${}^6\text{LiF}$ 靶的聚苯乙烯片覆盖于小立体角测量室的 ${}^6\text{LiF}$ 靶上。

角测量室抽真空后仍置于原来的位置，经中子束照射一定时间后，记下监视器的计数，则聚苯乙烯片中所含的氚强度为：

$$N_T = G \cdot \frac{2\pi}{\Omega} \cdot N_{\text{监}},$$

式中  $N_T$  为聚苯乙烯片中所含氚的强度；  $\Omega$  为小立体角测量室探测器对 ${}^6\text{LiF}$ 靶张的立体角；  $G$  为小立体角测量室与监视器的氚计数比值；  $N_{\text{监}}$  为监视器的计数。

小立体角测量室光栏直径为 15.695 毫米， ${}^6\text{LiF}$ 靶至光栏的距离为 285.44 毫米， ${}^6\text{LiF}$ 靶的直径为 18 毫米。考虑了统计误差，几何误差及阈修正等以后，聚苯乙烯片中含氚量的误差为 1%。

② 闪烁探测器的效率刻度：把已知含氚强度的聚苯乙烯片封入闪烁盒内，把其闪烁液体成分和待测样品的闪烁液体成分配得完全相同，这就获得了标准氚源样品。把待测样品和标准样品在相同的条件下进行测量，即可定出待测样品中氚的绝对强度。我们的液体闪烁探测系统的测氚效率为 22% 左右。

### 三、测 量 结 果

实验测量结果见表 1。截面实验测量值的主要误差来源见表 2。表 2 中的氚强度测量误差只是举出了 3#样品的测量误差，这项误差随不同样品测量情况的不同差别是比较大的。例如，2#样品氚强度测量误差为 8.8%。所以，提高氚强度的测量精度，减小其测量误差是实验中的重点。

表 1 实 验 测 量 结 果

样 品 序 号	$\sigma_{n,t}/\sigma_{n,a}$	$\sigma_{n,t}$ , 毫靶
2# (天然锂)	2.80	324.5±33
3# ( $^7\text{Li}$ )	2.81	325.7±23
5# ( $^7\text{Li}$ )	2.98	345.4±35
加权平均	2.85	330±21

表 2 误 差 的 主 要 来 源 及 大 小

误差来源	氚强度测量	标准截面	$\gamma$ 深测器的效率刻度	$\gamma$ 强度测量	$^7\text{Li}$ 定量	$^{27}\text{Al}$ 定量
误差大小	±5%	±3.4%	±2.2%	±0.2%	±1%	±0.1%

另外，在进行  $\gamma$  强度测量中考虑了样品的自吸收修正和径向修正。还考虑了测量中氚的衰变，从实验上进行了通量校正。

我们的测量结果与 M. E. Wyman<sup>[2]</sup> 和 F. Brown<sup>[3]</sup> 的测量结果在误差范围内是相一致的。与工作<sup>[4]</sup>给出的推荐值在误差范围内也是一致的。详细情况见表 3。

表 3 测 量 结 果 的 比 较

作 者	入射中子能量，兆电子伏	截面，毫靶
本 文	14.8±0.4	330±21
Wyman 等 <sup>[2]</sup>	14.8±0.2	305±20
Brown 等 <sup>[3]</sup>	14.85	352*±25
编译推荐值 <sup>[4]</sup>	14.8	318±22

\* 用 1975 年 J. B. Crirr 等发表的  $^{238}\text{U}$  裂变截面随中子能量变化的数据<sup>[5]</sup>校正后应为 349±25。

在实验过程中，九室为我们提供了  $^7\text{LiCO}_3$  样品，邱孙太同志对样品作了化学定量分析，激发曲线组的同志为我们提供了测量  $\gamma$  强度的方便，对此致以谢意。

### 参 考 文 献

- [1] 卢涵林等，原子能科学技术，2，113（1975）。
- [2] M. E. Wyman et al., LA-2235 (1958).
- [3] F. Brown et al., Reactor Sci. Technol., 17, 137 (1963).
- [4] 戴能雄等， $^7\text{Li}$  中子截面数据的联合推荐，hsj-77082(bp)，内部资料，1976。
- [5] J. B. Crirr et al., Nucl. Sci. Eng., 57, 18 (1975).